## LiTi<sub>2</sub>O<sub>4</sub>エピタキシャル薄膜を利用した全固体 Li 電池における Li イオン伝導制御

Control of Li-ion conduction in solid-state Li batteries using LiTi<sub>2</sub>O<sub>4</sub> epitaxial thin films 東工大物質理工 <sup>1</sup>,東工大理学院 <sup>2</sup>、JST さきがけ <sup>3</sup>,

<sup>○</sup>西尾 和記<sup>1</sup>, 一ノ倉 聖<sup>2</sup>, 小林 安貴<sup>1</sup>, 中村 直人<sup>1</sup>, 今関 大輔<sup>1</sup>, 枝村 紅依<sup>1</sup>, 中山 亮<sup>1</sup>, 清水 亮太<sup>1,3</sup>, 平原 徹<sup>2</sup>, 一杉 太郎<sup>1</sup>

> School of Materials and Chemical Technology, Tokyo Tech <sup>1</sup>, Department of Physics. Tokyo Tech<sup>2</sup>, JST-PRESTO <sup>3</sup>,

°Kazunori Nishio¹, Satoru Ichinokura², Yasutaka Kobayashi¹, Naoto Nakamura¹, Daisuke Imazeki¹, Kurei Edamura¹, Ryo Nakayama¹, Ryota Shimizu¹,², Toru Hirahara¹, and Taro Hitosugi¹ E-mail: nishio.k.ag@m.titech.ac.jp

[序] 次世代型蓄電デバイスとして期待される全固体 Li 電池のさらなる高出力化には、固体電解質/電極の界面における抵抗の起源を明らかにし、それを低抵抗化することが重要である。本研究ではサイクル特性や電子伝導性に優れる LiTi $_2$ O $_4$  に着目し、固体電解質/電極界面抵抗の定量的な研究に向けて、エピタキシャル薄膜モデル電極を作製した。その際、Nb ドープ SrTiO $_3$ (Nb:STO)上に作製した LiTi $_2$ O $_4$  薄膜電池素子は異常動作を示し、その原因として電池素子作製直後に Li $_2$ Ti $_2$ O $_4$  相が形成されていることを明らかにした。しかし、LiTi $_2$ O $_4$  薄膜と Nb:STO 基板の界面に SrZrO $_3$  ナノ層絶縁体を導入することで異常動作を抑制することに成功したので報告する。

[実験] LiTi<sub>2</sub>O<sub>4</sub>エピタキシャル薄膜はパルスレーザー堆積法により作製した。薄膜電池素子を全真空プロセスにより作製した[1-3]。薄膜電池素子は MgAl<sub>2</sub>O<sub>4</sub>(100)と Nb:STO(100)単結晶基板上に作製した(図 1a)。Nb:STO(100)上の場合、LiTi<sub>2</sub>O<sub>4</sub>/Nb:STO(100)界面に SrZrO<sub>3</sub> を 10 ユニットセル挿入した LiTi<sub>2</sub>O<sub>4</sub>薄膜電池素子も作製した(図 1b)。

[結果] 図 1c に作製した電池素子における充放電試験の結果を示す(電流密度 5  $\mu$ A/cm²)。  $MgAl_2O_4$  上の電池素子は初期反応が放電から始まる(黒線)。すなわち、電気化学反応は  $LiTi_2O_4$  +  $Li^+$  +  $e^-$  →  $Li_2Ti_2O_4$  の Li イオン挿入に対応している。一方で、Nb:STO 上の電池素子は初期反応が逆転し、 $Li_2Ti_2O_4$  →  $LiTi_2O_4$  +  $Li^+$  +  $e^-$  に対応する充電反応から始まる(青線)。これは、電池素子作製の過程で自発的に Li イオンが  $LiTi_2O_4$  側へ移動し  $Li_2Ti_2O_4$  の相に変化していることを意味している。しかし、 $LiTi_2O_4/Nb:STO$  界面に  $SrZrO_3$  絶縁体を 10 ユニットセル導入することで、正常な電気化学反応( $LiTi_2O_4$  +  $Li^+$  +  $e^-$  →  $Li_2Ti_2O_4$ )となることを見出した(赤線)。この結果は、 $LiTi_2O_4/Nb:STO$  間の電子移動が  $LiTi_2O_4$  に対する  $Li^+$ ケミカルポテンシャル制御に寄与していることを意味している。

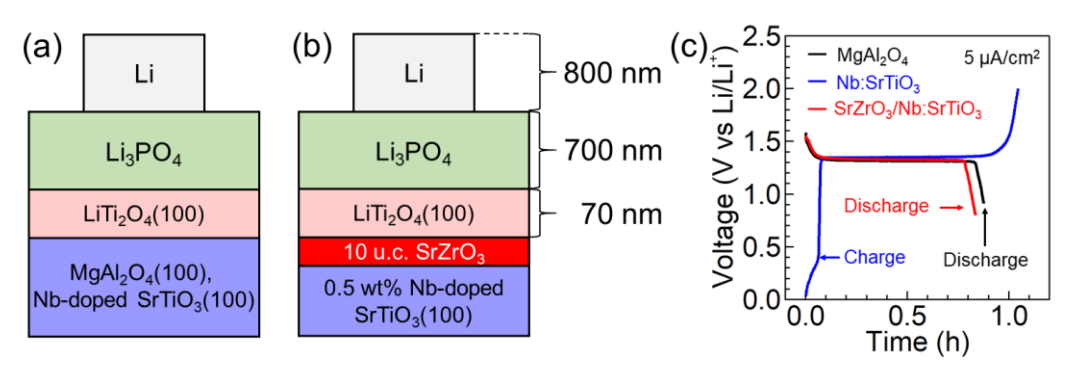


Fig. 1 Schematics of the side view of the fabricated thin film batteries using (a) MgAl<sub>2</sub>O<sub>4</sub>(100) and Nb-doped SrTiO<sub>3</sub>(100) substrates, and (b) a 10-unit-cell SrZrO<sub>3</sub> insertion. (c) Initial charge and discharge curves for the thin-film batteries.

- [1] M. Haruta, T. Hitosugi et al., Solid State Ionics. 285, 118 (2016).
- [2] H. Kawasoko, T. Hitosugi et al., ACS Appl. Mater. Interfaces, 10, 27498-27502 (2018)
- [3] K. Nishio, T. Hitosugi et al., J. Power Sources, 416, 56-61 (2019)